



БИООРГАНИЧЕСКАЯ ХИМИЯ

том 5 • № 4 • 1979

УДК 547.964.07+541.69

СИНТЕЗ И ИЗУЧЕНИЕ АНТИТРОМБИНОВОЙ АКТИВНОСТИ НЕКОТОРЫХ АРГИНИНСОДЕРЖАЩИХ ПЕПТИДОВ *

**Пояркова С. А., Кубирев В. К., Федорян Д. М.,
Серебряный С. Б.**

Институт молекулярной биологии и генетики Академии наук УССР, Киев

Классическими методами пептидной химии синтезирована серия стереоизомерных олигопептидов — аналогов фрагмента α (A)-цепи фибриногена. Исследован антитромбиновый эффект этих соединений в реакции свертывания фибриногена тромбином при pH 7 и 29°. Показано, что стереоизомеры N-тозилвалиларгинина типа LL-, DD-, LD-, DL- ингибируют тромбин на 50% при концентрации 6–9 мМ. С ростом длины полипептидной цепи ингибиторный эффект исследуемых соединений увеличивается. Наибольшей антисвертывающей активностью обладает *ретро-D*-тетрапептид строения: Tos-D-Val-D-Ala-D-Arg-D-Phe-OMe (I_{50} 9,4 мКМ).

Тромбин (КФ 3.4.21.5), важнейший фермент системы свертывания крови, является сериновой протеиназой с трипсиноподобным действием. В организме тромбин осуществляет селективное расщепление аргинил-глициновой связи фибриногена, неактивного белка крови, индуцируя превращение его в фибрин-мономер. Полимеризация последнего приводит к образованию сгустка.

Являясь активирующим ферментом, тромбин отличается от других сериновых гидролаз, таких, например, как трипсин, довольно узкой специфичностью. Так, в своем природном субстрате — фибриногене тромбин расщепляет лишь 4 из 376 аргининовых и лизиновых связей, чувствительных к действию трипсина [1]. Существует представление, что высокая субстратная избирательность тромбина определяется особенностями первичной структуры полипептидной цепи в районе Arg-Gly-связи, гидролизуемой тромбином при превращении фибриногена в фибрин [2]. Аминокислотная последовательность α (A)-цепи участка фибриногена (стрелкой отмечена связь, расщепляемая тромбином) такова: -Asp-Phe-Leu-Ala-Glu-Gly-Gly-Val-Arg-Gly-Pro-Arg-Val-.

Изучение субстратных и ингибиторных свойств различных синтетических пептидов, фрагментов фибринопептидов, показало, что эффективность гидролиза олигопептидов возрастает, если в положении P_2 и P_3 ** находятся аминокислоты с гидрофобными радикалами [3–5]. Существенный вклад в улучшение субстратных (ингибиторных) свойств пептидов вносит остаток фенилаланина в положении P_9 [6, 7] и наличие в пептидах пролина в P_2' [8]. Введение в P_3 остатка D-аминокислоты резко усиливает

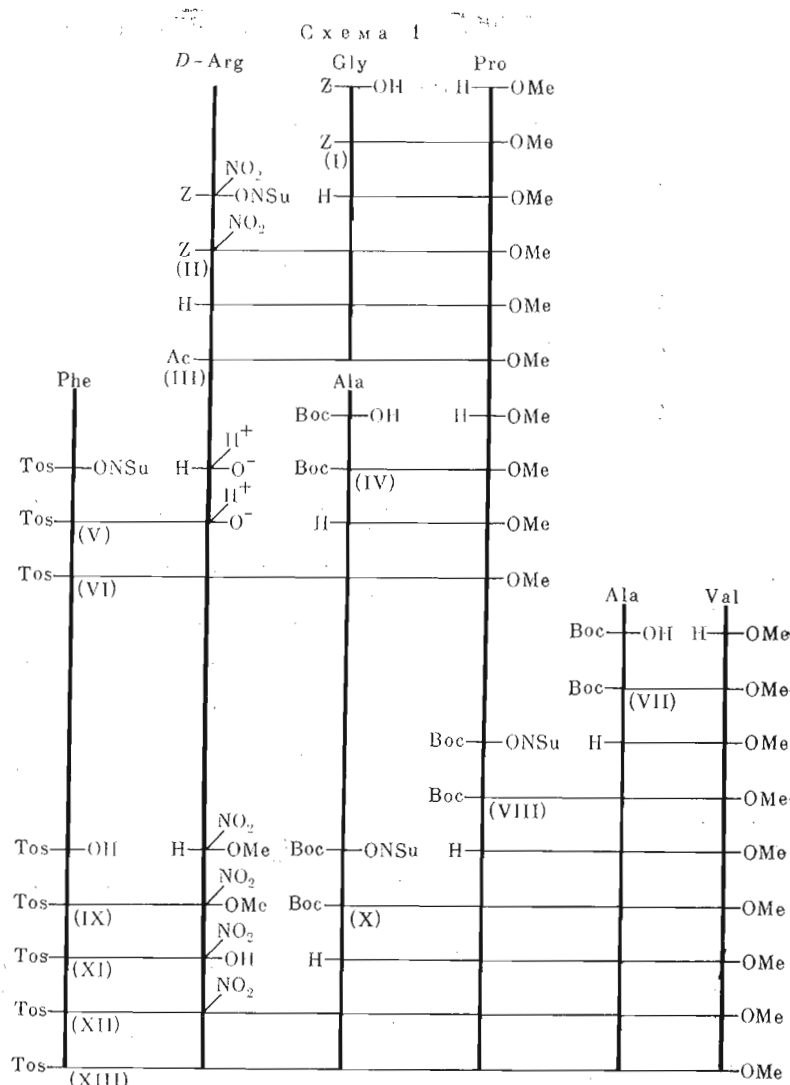
* Часть этой работы была представлена на IV Всесоюзном симпозиуме по химии белков и пептидов (5–8 сентября 1977 г., Минск).

** P_n и P_n' — положение аминокислотных остатков в субстрате слева и справа от расщепляемой связи.

антитромбиновый эффект некоторых синтетических ингибиторов фермента [9]. В обзоре [10] приведены данные об эстеразной, амидазной, протеолитической и свертывающей активности тромбина.

Поскольку влияние конфигурации аминокислотных остатков в участке P_3-P_1' на ингибирующую активность пептидов изучено недостаточно, мы синтезировали серию стереоизомеров тозилвалиларгинина типа *LL*, *DD*, *LD*, *DL* [11].

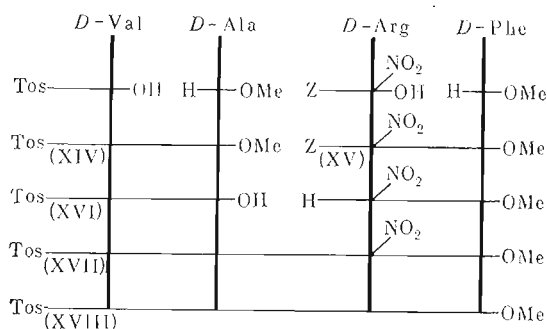
Целью настоящей работы является синтез стереоизомерных олигопептидов, соответствующих первичной структуре указанного выше тетрапептида, и изучение их антитромбиновой активности. Ниже описан синтез три-, тетра- и гексапептидов, содержащих вместо остатка *L*-аргинина его *D*-изомер. Эти соединения имеют и другие замены, например валин в положении P_2 заменен на фенилаланин. Учитывая тот факт, что введение аланина вместо глицина в P_1' улучшает субстратные свойства соединений [5], большинство синтезированных нами пептидов содержит вместо глицина в положении P_1' аланин. Пептиды синтезировали классическими методами (схема 1), что позволило проводить очистку промежуточных продуктов на любой стадии.



Защищенный трипептид (II) получали конденсацией окисукциниimidного эфира N-карбобензоксицинитроаргинина с метиловым эфиром глицилпролина. Отщепление карбобензокси- и нитрогрупп в пептиде (II) катализитическим гидрогенолизом и последующее ацетилирование приводит к метиловому эфиру ацетил-D-аргинилглицилпролина (III). Тетрапептид (VI) синтезировали по схеме 2+2 конденсацией дипептида (V) и метилового эфира L-аланилпролина карбодимиидным методом в присутствии окисукциниимида с выходом 30 %. Исходный тозилдипептид (V) с хорошим выходом получали взаимодействием окисукциниimidного эфира тозилфенилаланина с аргинином [11]. Метод синтеза пептидов с незащищенным C-концевым аргинином, отличающийся простотой и обладающий рядом других преимуществ, в последнее время нашел довольно широкое применение [12]. Согласно [11], он оказался наиболее удобным и при синтезе дипептидов строения тозилвалиларгинин (XIX–XXII).

Несмотря на то что нами было зафиксировано образование ряда побочных продуктов при катализитическом гидрогенолизе нитрогруппы, блокирующей гуанидиновую функцию аргинина, нам удалось синтезировать гексапептид (XIII) с хорошим выходом при использовании этой защиты. Для предотвращения рацемизации при конденсации фрагментов карбодимиидным методом использовали добавки окисукциниимида [13].

Схема 2



Синтез *ретро*-D-тетрапептида (XVIII), соответствующего «прямой» последовательности -Phe-Arg-Ala-Val-, также проведен с защищенной гуанидиновой функции аргинина нитрованием. Пептид (XVII) получали конденсацией двух дипептидных фрагментов. Последующее катализитическое гидрирование над палладиевой чернью приводит к желаемому тетрапептиду (XVIII).

Все конечные пептиды очищали ионообменной хроматографией на СМ-целлюлозе или на колонках с окисью алюминия.

В табл. 1 приведены формулы и некоторые физико-химические характеристики синтезированных соединений; их индивидуальность доказана ТСХ на силикагеле, электрофорезом на бумаге при pH 6,5 и элементным анализом.

В табл. 2 представлена антитромбиновая активность синтезированных соединений, выраженная такой концентрацией пептидов, которая ведет к ингибированию гидролиза фибриногена тромбином на 50 % (I_{50}).

Из табл. 2 видно, что значения I_{50} для LL- и DD-стереоизомеров тозилвалиларгинина одинаковы. Сравнение соединений (XIX) и (XXIII) показывает, что этирификация карбоксильной группы аргинина практически не влияет на величину I_{50} . Однако введение гидрофобной изопропилоксильной группы (XXIV) увеличивает ингибиторный эффект в 2 раза. Аналогичное влияние природы алкоxильного остатка у производных фенилаланилвалиларгинина отмечали Бломбек и др. [14]. Ингибиторный эффект

Строение и физико-химические свойства пептидов

Таблица 1

Соединение	Т. пл., °C	R_f		E_{Arg} (pH 6,5)	Вы- ход, %
		A	B		
(I) Z-Gly-Pro-OMe	Масло	0,73	0,69		82
(II) Z-D-Arg(NO ₂)-Gly-Pro-OMe	143–145 разл.	0,63	0,73		41
(III) Ac-D-Arg-Gly-Pro-OMe	Аморф.	0,17	0,33	0,65	20
(IV) Boc-Ala-Pro-OMe	Масло	0,71	0,67		86
(V) Tos-Phe-D-Arg-OH	253–254	0,64	0,48	0,11	99
(VI) Tos-Phe-D-Arg-Ala-Pro-OMe	134–135 разл.	0,17	0,39	0,40	30
(VII) Boc-Ala-Val-OMe	64–66	0,70	0,70		75
(VIII) Boc-Pro-Ala-Val-OMe	Масло	0,65	0,70		64
(IX) Tos-Phe-D-Arg(NO ₂)-OMe	85–86	0,86	0,93		72
(X) Boc-Ala-Pro-Ala-Val-OMe	Масло	0,73	0,87		54
(XI) Tos-Phe-D-Arg(NO ₂)-OH	—	0,78	0,80		91
(XII) Tos-Phe-D-Arg(NO ₂)-Ala-Pro-Ala- Val-OMe	105–107 разл.	0,66	0,70		60
(XIII) Tos-Phe-D-Arg-Ala-Pro-Ala- Val-OMe	Аморф.	0,20	0,40	0,58	50
(XIV) Tos-D-Val-D-Ala-OMe	182–183	0,79	0,81		52
(XV) Z-D-Arg(NO ₂)-D-Phe-OMe	125–127	0,71	0,73		73
(XVI) Tos-D-Val-D-Ala-OH	126–127	0,48	0,50		90
(XVII) Tos-D-Val-D-Ala-D-Arg(NO ₂)-D- Phe-OMe	147–150	0,64	0,50		40
(XVIII) Tos-D-Val-D-Ala-D-Arg-D-Phe-OMe	Аморф.	0,35	0,35	0,53	35
(XIX) Tos-D-Val-D-Arg-OH	158–160 *	0,31		0,13	71
(XX) Tos-D-Val-Arg-OH	218–220	0,31		0,13	66
(XXI) Tos-Val-D-Arg-OH	220–221	0,31		0,13	77
(XXII) Tos-Val-Arg-OH	158–160 *	0,31		0,13	66

* Т. пл. исправлены.

Таблица 2

Ингибирование синтетическими пептидами реакции свертывания фибриногена
тромбином при pH 7 и 29°

Среднее значение из 2–4 опытов

Соединение	I_{50}^* , мM	Соединение	I_{50}^* , мM
(XXII) Tos-Val-Arg-OH	6,2	(XXI) Tos-Val-D-Arg-OH	8,8
(XIX) Tos-D-Val-D-Arg-OH	6,0	(XXV) Tos-Phe-D-Arg-OH **	1,7
(XXIII) Tos-D-Val-D-Arg-OMe **	5,2	(VI) Tos-Phe-D-Arg-Ala-Pro- OMe	1,1
(XXIV) Tos-D-Val-D-Arg-OPr' **	2,9	(XXVI) Z-Pro-Ala-Arg-OMe **	$1,4 \cdot 10^{-1}$
(XX) Tos-D-Val-Arg-OH	9,4	(XVIII) Tos-D-Val-D-Ala-D-Arg- D-Phe-OMe	$9,4 \cdot 10^{-3}$

* Величина I_{50} соответствует концентрации пептида, при которой время образования фибринового сгустка возрастает в 2 раза по сравнению со временем свертывания фибриногена без ингибитора.

** Синтез и физико-химические характеристики приведены в [11].

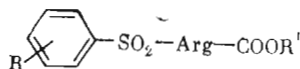
LD- и *DL*-изомеров одинаков, но несколько ниже антитромбиновой активности *LL*- и *DD*-пептидов. Это, очевидно, обусловлено изменением ориентации боковых радикалов *D*-аминокислот относительно соответствующих *S*₁- и *S*₂-центров тромбина и ухудшением эффективности связывания соединений (XX) и (XXI) с ферментом. Сравнение ингибиторных свойств дипептида (XXV) и тетрапептида (VI) свидетельствует о том, что введение дополнительных аминокислотных остатков в положение *P*_{1'} и *P*_{2'} пептида

не влияет на антитромбиновый эффект. При исследовании производных фенилаланилвалиларгинина и валиларгинилглицина Бломбек и др. пришли к такому же выводу [14]. Пролипсодержащий трипептид (XXVI), состоящий из остатков *L*-аминокислот, на порядок более эффективный ингибитор, чем тетрапептид (VI). Однако наибольшего эффекта ингибирования удалось достигнуть в случае *ретро*-энантиомера (XVIII).

Известно, что пептиды, содержащие *D*-аминокислоты, практически не подвергаются энзиматическому гидролизу. Это обстоятельство позволяет синтезировать ингибиторы, устойчивые к гидролитическому расщеплению ферментами организма. Для создания эффективного конкурентного ингибитора необходима стерическая комплементарность боковых радикалов ингибитора соответствующим связывающим участкам фермента. Поскольку простая замена одного из аминокислотных остатков на соответствующий *D*-изомер резко изменяет ориентацию в пространстве его боковых групп [15], таким путем нельзя получить эффективный ингибитор. Как показали Ю. А. Овчинников и В. Т. Иванов [15], лишь *ретро*-энантио-изомерные пептиды, построенные из *D*-аминокислотных остатков, адекватны всей периферии исходной молекулы в целом и отличаются от нее инвертированным расположением атомов в амидных группировках. Топохимический подход [16] позволил нам создать ингибитор (XVIII), который оказался наиболее эффективным из серии изученных соединений (см. табл. 2).

В работе Шераги и др. [3] исследован антитромбиновый эффект синтетических пента- и октапептидов, соответствующих P_5-P_3' -участку $\alpha(A)$ -цепи фибриногена, и показано, что I_{50} составляет величину порядка 7 см. Синтезированные нами соединения, хотя и являются более короткими пептидами, обладают более сильным ингибиторным эффектом.

Ранее нами исследовались ингибиторные свойства производных арилсульфониларгинина общей формулы



и показано, что их антитромбиновое действие зависит от объема и гидрофобности заместителей R и R' [17]. Эти низкомолекулярные соединения оказались пригодными для изучения взаимодействий в каталитическом центре тромбина. Использование синтетических олигопептидов — аналогов фрагментов $\alpha(A)$ -цепи фибриногена позволяет исследовать топографию всего активного центра тромбина — как каталитического, так и связывающего его участков. Наконец, пептиды, *ретро*-*D*-аналоги фрагментов $\alpha(A)$ -цепи фибриногена, дают возможность картировать только связывающий участок фермента, поскольку по стереохимическим причинам тромбин практически не расщепляет производные *D*-аргинина.

Таким образом, синтез и исследование пептидов с *D*-аргинином, в особенности *ретро*-энантиомерных производных, открывает новые возможности для целенаправленного поиска новых эффективных ингибиторов тромбина.

Экспериментальная часть

Использовали аминокислоты фирмы Reanal (BHP). Температуру плавления или разложения синтезированных соединений определяли в открытых капиллярах; в табл. 1 приведены неисправленные значения температур плавления. ТСХ проводили на пластинках Silufol (ЧССР) в системах растворителей: *n*-бутанол — пиридин — уксусная кислота — вода, 30 : 6 : 20 : 10 (А), *n*-бутанол — уксусная кислота — вода, 2 : 1 : 1 (Б). Для preparативного разделения использовали окись алюминия (Reanal, BHP) или силикагель L (Chemapol, ЧССР). Электрофорез осуществляли на бумаге Fitlak FN-16 (ГДР) в течение 1,5 ч при pH 6,5 (60 В/см). Электрофорограммы проявляли реактивом Сакагучи и по Райдону — Смиту, а пластинки

для ТСХ – иодом. Аминокислотный состав гидролизатов пептидов определяли на анализаторе AAA-881 (ЧССР). Удельное вращение измеряли на спектрополяриметре Spectropol-1 (Sofica, Франция).

Удаление бензилоксикарбонильной защитной группы. а) К раствору 2 ммоль защищенного пептида в 4 мл ледяной уксусной кислоты прибавляли равный объем 36% бромистого водорода в ледяной уксусной кислоте, перемешивали 1 ч при 20°, а затем выливали в сухой эфир. Аморфный бромгидрат пептида отфильтровывали, промывали сухим эфиром и сушили в вакуум-эксикаторе над KOH.

б) К раствору 1,3 ммоль защищенного пептида в 20 мл метанола прибавляли 1 мл 6 н. HCl и гидрировали над палладиевой черпью не менее 20 ч, контролируя степень отщепления защитных групп электрофоретически или при помощи ТСХ. Тетрапептид (XVII) и гексапептид (XII) гидрировали в 80% уксусной кислоте в течение 16 ч, затем катализатор отфильтровывали, растворитель удаляли в вакууме при 40°, а остаток растирали с эфиром.

Удаление трет-бутилоксикарбонильной защитной группы. К раствору 2,3 ммоль защищенного пептида в 7 мл сухого диоксана прибавляли 10 мл 6 н. HCl в сухом диоксане, выдерживали 40 мин при 20° и выливали в эфир. Гигроскопический осадок хлоргидрата отфильтровывали, промывали сухим эфиром и сушили в эксикаторе над KOH.

Z-D-Arg(NO₂)-D-Phe-OMe (XV). К смеси 2,43 г (11,3 ммоль) хлоргидрата метилового эфира D-фенилаланина, 1,56 мл триэтиламина и 4,0 г (11,3 ммоль) бензилоксикарбонил-D-нитроаргинина в 30–40 мл ДМФА, охлажденной до 0°, прибавили при размешивании 2,33 г (12 ммоль) ДЦГК. Раствор перемешивали 4 ч при 0° и 12 ч при 20°. Осадок отделяли, из фильтрата растворитель удаляли в вакууме, остаток растворяли в этилацетате и промывали последовательно 0,5 н. HCl, водой, раствором NaHCO₃ и снова водой. Органический слой сушили MgSO₄, растворитель удаляли в вакууме, а остаток растирали с петролейным эфиром. Выход аморфного продукта 3,4 г.

Соединения (I), (IV), (VII), (IX) и (XIV) получали аналогично. В ходе синтеза пептидов (IV) и (VII), содержащих Вос-группу, пептиды промывали раствором лимонной кислоты.

Tos-Val-Arg-OH (XIX–XXII). К 3 г (8,1 ммоль) Tos-Val-ONSu [11] в 10 мл диоксана прибавляли 1,4 г (8,1 ммоль) аргинина в 6 мл воды, реакционную смесь размешивали 12 ч при 20°. Растворитель удаляли в вакууме, остаток промывали этилацетатом и кристаллизовали из воды. Выход бесцветных кристаллических пептидов составлял 66–77%. Соединение (V) синтезировали аналогично.

Z-D-Arg(NO₂)-Gly-Pro-OMe (II). К раствору 1,18 (6 ммоль) H₂⁺-Gly-Pro-OMe·Cl[–] в 10–15 мл ДМФА при 0° прибавляли 0,83 мл триэтиламина. Через 30 мин осадок отфильтровывали и к фильтрату прибавляли 2,2 г (6 ммоль) Z-D-Arg(NO₂)-ONSu и выдерживали 12 ч при 20°. Растворитель удаляли в вакууме и дальнейшую обработку проводили как описано выше. Соединения (VIII) и (X) получали аналогично.

Ac-D-Arg-Gly-Pro-OMe (III). Раствор 700 мг (1,3 ммоль) защищенного пептида (II) в 20 мл метанола гидрировали в присутствии палладиевого катализатора, как описано выше. Образовавшееся соединение растворяли в 20 мл ДМФА, при 0° прибавляли 1,5 мл триэтиламина, размешивали 20 мин, осадок отфильтровывали и к фильтрату прибавляли 1,2 г (1,3 ммоль) AcONSu. Реакционную смесь выдерживали 14 ч при 20°, растворитель удаляли в вакууме, остаток очищали препаративным электрофорезом на бумаге в течение 1,5 ч. Пептид элюировали 1 н. уксусной кислотой и лиофилизовали. Выход 15 мг (20%). Найдено, %: C 47,20, H 7,20. C₁₇H₃₀N₆O₅. Вычислено, %: C 46,94, H 6,94.

Tos-Phe-D-Arg-Ala-Pro-OMe (VI). К раствору 0,53 г (2,2 ммоль) H₂⁺-Ala-Pro-OMe·Cl[–] в 20 мл пиридина прибавляли при 0° 1,04 г

(2,2 ммоль) дипептида (V), 0,23 г (2,2 ммоль) оксисукциницида и 0,47 г (2,3 ммоль) ДЦГК. Реакционную смесь выдерживали 4 ч при 0° и 12 ч при 20°, растворитель удаляли в вакууме, остаток растворяли в *n*-бутаноле и обработку вели, как обычно. Пептид очищали хроматографией на колонке с окисью алюминия. Выход 30%. $[\alpha]_D^{25} -57^\circ$ (с 1, метанол). Найдено, %: N 8,56, S 4,11. $C_{21}H_{43}N_7O_7S \cdot HCl$. Вычислено, %: N 8,31, S 4,75.

Tos-D-Val-D-Ala-OH (XVI). К 1,4 г (4 ммоль) защищенного дипептида (XIV) в 5 мл метанола прибавляли 8,2 мл 1 н. NaOH и размешивали 1 ч. Метанол удаляли в вакууме, а оставшийся водный раствор подкисляли 6 н. HCl. Осадок отфильтровывали, промывали водой и кристаллизовали из воды. Выход 90%. Соединение (XI) получали аналогично.

Tos-D-Val-D-Ala-D-Arg(NO₂)·D-Phe-OMe (XVII). К смеси 0,87 г (1,67 ммоль) $H_2^+·D\text{-Arg}(NO_2)\text{-D-Phe-OMe} \cdot Br^-$, 0,23 мл триэтиламина, 0,57 г (1,67 ммоль) дипептида (XVI) и 0,19 г (1,67 ммоль) оксисукциницида в 15 мл ДМФА, охлажденной до 0°, прибавляли при перемешивании 0,35 г (1,7 ммоль) ДЦГК и выдерживали 4 ч при 0°, а затем 12 ч при 20°. Осадок отделяли, из фильтрата удаляли растворитель в вакууме, остаток растворяли в хлористом метилене и последовательно промывали раствором $NaHCO_3$, водой, 0,5 н. HCl и снова водой. Органический слой сушили Na_2SO_4 , растворитель удаляли в вакууме, остаток растирали с петролейным эфиром. Выход 40%. Снятие нитрогруппы каталитическим гидрогенолизом осуществляли как описано выше. Тетрапептид (XVIII) окончательно очищали ионообменной хроматографией на карбоксиметилцеллюлозе. $[\alpha]_D^{25} +36^\circ$ (с 0,3, метанол). Найдено, %: N 14,51, S 4,89. $C_{31}H_{45}N_7O_7S \cdot CH_3COOH$. Вычислено, %: N 14,54, S 4,75.

Tos-Phe-D-Arg-Ala-Pro-Ala-Val-OMe (XIII). К смеси 0,88 г (1,7 ммоль) дипептида (XI), 0,2 г (1,7 ммоль) оксисукциницида в 15–20 мл ДМФА прибавляли при охлаждении до 0° 0,31 г (1,7 ммоль) ДЦГК, размешивали 45 мин и прибавляли аминокомпонент в 7–10 мл ДМФА, полученный из 0,7 г $H_2^+·Ala-Pro-Ala-Val-OMe \cdot Cl^-$ и 0,23 мл триэтиламина в 7 мл ДМФА. Реакционную смесь выдерживали 4 ч при 0° и 20 ч при 20°. Растворитель удаляли в вакууме, остаток растворяли в хлороформе, промывали раствором $NaHCO_3$, водой, 0,5 н. HCl и снова водой. Органический слой сушили Na_2SO_4 , растворитель удаляли в вакууме, а остаток растворяли в 80% уксусной кислоте и гидрировали в присутствии палладия, как описано выше. Гексапептид (XIII) окончательно очищали на колонке с CM-целлюлозой. Выход 150 мг (50%). $[\alpha]_D^{20} -29^\circ$ (с 1, ДМФА).

Методы очистки пептидов. а) Ионообменная хроматография на CM-целлюлозе. Очистку пептидов на CM-целлюлозе (Whatman, CM-52) проводили в колонке (2,5×30 см), уравновешенной 0,05 М аммоний-ацетатным буфером с pH 6. Для очистки наносили 200 мг пептида, растворенного в 5–7 мл исходного буферного раствора. Элюирование осуществляли сначала 100 мл исходного буферного раствора, а затем градиентом молярности от 0,05 М (400 мл в смесителе) до 0,5 М (400 мл) со скоростью 60–100 мл/ч, собирая фракции через каждые 5 мин. Оптическое поглощение растворов определяли на спектрофотометре СФ-4А при 260 нм. Фракции, содержащие нужный материал, соединяли и лиофилизовали. Выход пептидов составлял 35–50%.

б) Очистка пептидов на окиси алюминия или силикагеле. Очистку проводили в колонке (2,5×30 см), нанося раствор пептида в метаноле и элюируя метанолом. Контроль фракций проводили тонкослойной хроматографией. Фракции, содержащие нужный материал, соединяли, растворитель удаляли в вакууме, а остаток растирали с эфиром или петролейным эфиром.

Определение свертывающей активности тромбина. Приготовление раствора фибриногена, исходного раствора тромбина, а также буферных растворов для определения свертывающей активности тромбина осуществляли в соответствии с методикой [18]. Смесь 0,3 мл фосфатного буфера ион-

ной силы 0,15 М (0,05 М фосфатный буфер и 0,1 М NaCl, pH 7), 0,3 мл 0,1% раствора фибриногена (Calbiochem) в исходном фосфатном буфере и 0,1 мл раствора исследуемого пептида (10^{-2} – 10^{-6} М) в фосфатном буфере, pH 7, термостатировали 5 мин при 29°, прибавляли 0,1 мл раствора тромбина (0,5 NIH *-ед/мл) и определяли время, необходимое для образования видимого сгустка. Антитромбиновую активность пептидов определяли графически, выражая ее в виде концентрации пептида, при которой время свертывания фибриногена тромбином увеличивается в 2 раза по сравнению с временем свертывания без ингибитора.

ЛИТЕРАТУРА

1. Blombäck B., Blombäck M., Edman P., Hessel B. (1966) Biochim. et biophys. acta, **115**, 371–396.
2. Blombäck B., Blombäck M., Hessel B., Iwanaga S. (1967) Nature, **215**, 1445–1448.
3. Liem R. K. H., Andreatta R. H., Scheraga H. A. (1971) Arch. Biochem. and Biophys., **147**, 201–213.
4. Liem R. K. H., Scheraga H. A. (1973) Arch. Biochem. and Biophys., **158**, 387–395.
5. Liem R. K. H., Scheraga H. A. (1974) Arch. Biochem. and Biophys., **160**, 333–339.
6. Blombäck B., Blombäck M., Olsson P., Svendsen L., Aberg G. (1969) J. Clin. Lab. Inwest., **24**, Suppl. 107, 59–64.
7. van Nispen J. W., Hageman Th. F., Scheraga H. A. (1977) Arch. Biochem. and Biophys., **182**, 227–243.
8. Lobo A. P., Was J. D., Sherman M. Yu., Lawson W. B. (1976) Arch. Biochem. and Biophys., **177**, 235–244.
9. Bajusz S., Barabás E., Szell E., Bagdy D. (1975) in: Peptides: Chemistry, Structure and Biology. Proceedings of the Fourth American Peptide Symposium (Walter R., Meinhof J., eds.), Ann Arbor Science Publishers Inc., pp. 603–608.
10. Федоряк Д. М., Кибирев В. К., Серейская А. А., Серебряный С. Б. (1977) в сб.: Молекулярная биология, т. 2, с. 64–75, «Наукова думка», Київ.
11. Пояркова С. А., Кибирев В. К., Серебряный С. Б. (1978) Химия природн. соедин., № 3, 423–424.
12. Филатова М. Н., Крит Н. А., Сучкова Г. С., Равдель Г. А., Иванов В. Т. (1976) Биоорганс. химия, **1**, 437–451.
13. Weygand F., Hoffman D., Wünsch E. (1966) Z. Naturforsch., **21b**, 426.
14. Svendsen L., Blombäck B., Blombäck M., Olsson P. J. (1972) Thromb. Res., **1**, 267–285.
15. Овчинников Ю. А., Иванов В. Т. (1969) в кн.: Современные проблемы химии пептидов и белков, с. 118–133, «Наука», М.
16. Shemyakin M. M., Ovchinnikov Yu. A., Ivanov V. T. (1969) Angew. Chem., **81**, 523–529.
17. Серейская А. А., Кибирев В. К., Федоряк Д. М., Пояркова С. А., Серебряный С. Б. (1977) Докл. АН УССР, сер. Б, 346–349.
18. Perlman B. E., Lorand L. (1970) Methods in Enzymology, «Proteolytic Enzymes», vol. 19, pp. 145–157, Acad. Press, New York, London.

Поступила в редакцию
20.IX.1978

SYNTHESIS AND STUDIES ON ANTITHROMBOTIC ACTIVITY OF ARGININE CONTAINING PEPTIDES

POYARKOVA S. A., KIBIREV V. K., FEDORYAK D. M.,
SEREBRYANY S. B.

*Institute of Molecular Biology and Genetics, Academy of Sciences
of the Ukrainian SSR, Kiev*

A series of stereoisomeric oligopeptides which correspond to the fragments of fibrinogen α (A)-chain were synthesized by classical methods of peptide chemistry. The antithrombotic activity of these compounds was assayed in the reaction of fibrinogen clotting at pH 7.0 and 29°. The I_{50} values ranged from 6 to 9 mmol for DD-, LL-, DL-, and LD isomers of N-tosylvalylarginine. The lengthening of peptide chain causes the growth of clotting-inhibiting effect for the compounds under study. The retro-D-tetrapeptide Tos-D-Val-D-Ala-D-Arg-D-Phe-OMe was found to be the most potent inhibitor ($I_{50}=9.4 \cdot 10^{-6}$ M).

* Единица активности тромбина, предложенная в институте «National Institute of Health» (США).

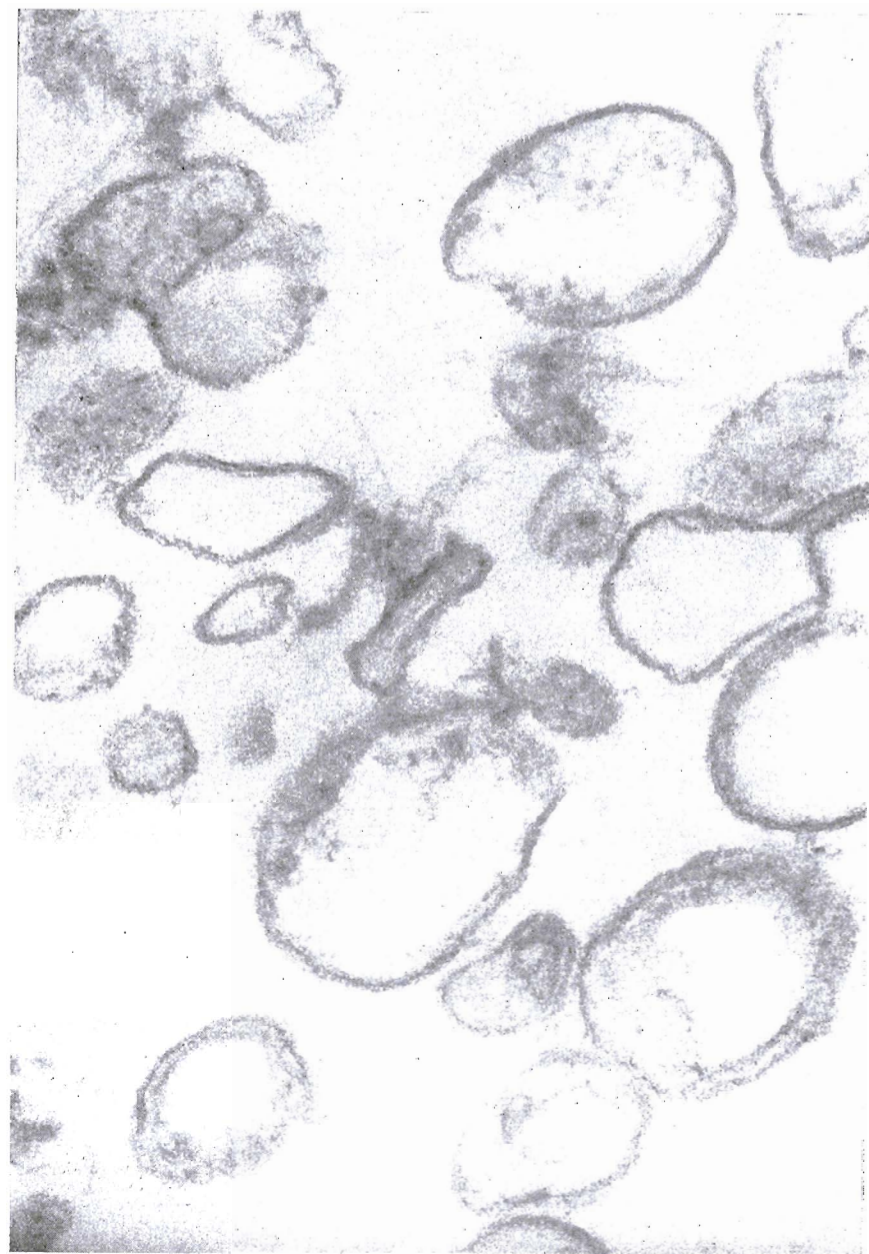


Рис. 1. Электронная микрофотография субклеточных фракций миометрия крыс: а — фракция плазматических мембран ($\times 75\,000$)

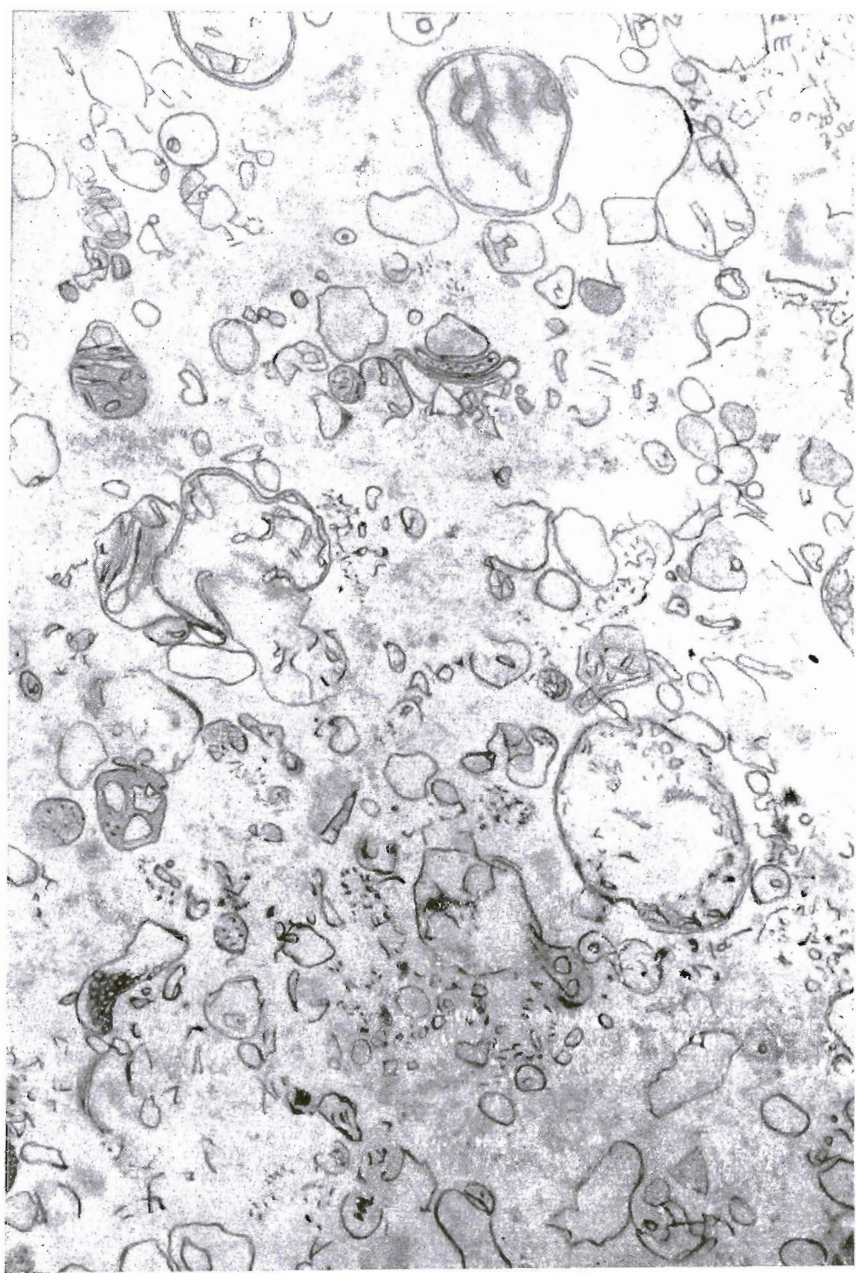


Рис. 1. б – фракция саркоплазматического ретикулума ($\times 40\,000$)

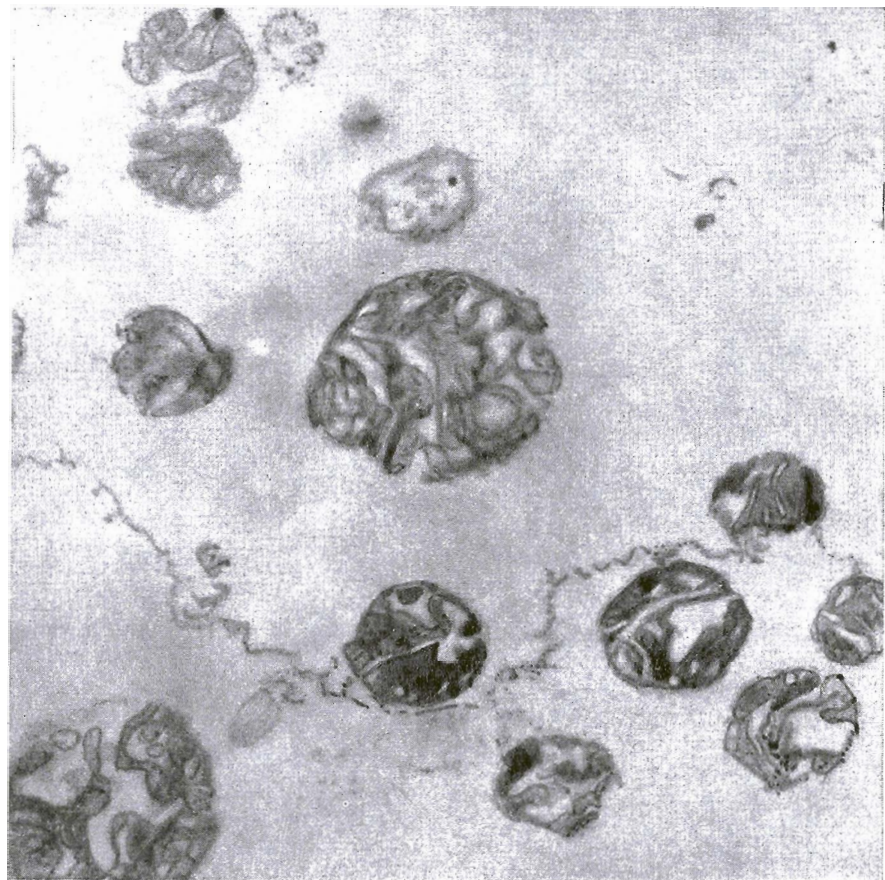


Рис. 1. в – митохондриальная фракция ($\times 35\,000$)